

بررسی تعادل هاردی-وینبرگ و چندشکلی در جمعیت‌های زنبورعسل شمال‌غرب ایران با استفاده از آنالیز ریزماهواره
نعمت‌الله اسدی^۱، صابر خدرزاده^۲، سیروس امیری‌نیا^۳

چکیده

به منظور مطالعه درون‌جمعیتی کلني‌های زنبورعسل نواحی شمال غربی ایران، با استفاده از نمونه‌های استان‌های آذربایجان شرقی، آذربایجان غربی و اردبیل، از ۹ نشانگر ریزماهواره استفاده گردید. پس از تکثیر هرجایگاه به‌وسیله تکنیک PCR و تعیین ژنتیپ، با استفاده از نرم‌افزارهای مختلف، آنالیزهای مربوطه انجام پذیرفت. در این تحقیق از بین نشانگرهای مورد مطالعه، جایگاه A7 دارای بیشترین تعداد آلل مشاهده شده و جایگاه‌های A35 و B124 دارای کمترین تعداد آلل و جایگاه‌های A14 و A24 نیز مونومورف بودند. بیشترین محتوای اطلاعات چندشکلی در جایگاه‌های A107 و A7 و کمترین مقدار آن در جایگاه A35 نمایان شد. بیشترین هتروزایگوسیتی مشاهده شده و هتروزایگوسیتی مورد انتظار ناآریب نی در جایگاه A107 (به ترتیب ۰/۹۸۳ و ۰/۹۲۱) و کمترین مقدار هتروزایگوسیتی مشاهده شده در جایگاه A88 (۰/۱۰۱) و کمترین هتروزایگوسیتی مورد انتظار ناآریب نی نیز در جایگاه A35 (۰/۴۸۱) مشاهده گردید. بیشترین و کمترین مقدار شاخص شانون نیز به ترتیب در جایگاه‌های A107 (۰/۶۴۰) و A35 (۰/۰۱۸) دیده شد. در این جمعیت، جایگاه‌های A7 و A107 در تعادل هاردی-وینبرگ و بقیه جایگاه‌ها دارای انحراف معنی‌داری از وضعیت تعادل بودند.

واژه‌های کلیدی: زنبورعسل، تعادل هاردی-وینبرگ، چندشکلی، ریزماهواره‌ها

- ۱- کارشناس ارشد ژنتیک و اصلاح نژاد زنبورعسل، مؤسسه تحقیقات علوم دامی کشور
- ۲- دانش آموخته کارشناسی ارشد رشته ژنتیک و اصلاح نژاد دام، دانشگاه کشاورزی و منابع طبیعی رامین
- ۳- عضو هیات علمی بخش بیوتکنولوژی، مؤسسه تحقیقات علوم دامی کشور

مقدمه

امروزه با آشکارشدن نشانگرهای با تعداد آلل زیاد همچون ریزماهواره‌ها و ژن‌های شناخته شده با توالی‌های آللی متفاوت که منجر به هاپلوتیپ‌های زیادی خواهد شد، برقراری تعادل هاردی-وینبرگ اهمیت ویژه‌ای در مطالعات ژنتیک جمعیت پیدا کرده است. این موضوع نشان می‌دهد که فراوانی‌های ژنتیکی یک جایگاه را بعد از یک نسل آمیزش تصادفی، می‌توان با نسبت بی‌نومیال (برای دوآللی) و مولتی‌نومیال (برای چندآللی) براساس فراوانی‌های آللی نمایش داد. نسبت‌های ژنتیکی به دلایل مختلف از تعادل هاردی-وینبرگ انحراف خواهند داشت. مهمترین فاکتورهای تأثیرگذار در این امر انتخاب، آمیزش‌های غیرتصادفی و جریان ژنی می‌باشند. مقادیر کم هر یک از این فاکتورها فقط اندکی نسبت‌های هاردی-وینبرگ را تغییر می‌دهد.

گاهی اوقات مشکلات موجود در بعضی از روش‌های مولکولی (همچون آلل‌های صفر^۱) باعث ایجاد انحراف از تعادل مذکور می‌شود (۸). اگر کلیه داده‌های یک مکان ژنی که در آن تمام ژنتیک‌ها قابل تشخیص هستند وجود داشته باشد، می‌توان مطابقت فراوانی‌های ژنتیکی مشاهده شده را با فراوانی‌های مربوط به یک جمعیت در تعادل هاردی-وینبرگ مورد قیاس و آزمون قرار داد. برای آزمون تعادل هاردی-وینبرگ در یک جمعیت، روش‌های مختلفی از جمله آزمون مربع کای^۲، آزمون نسبت درست نمایی^۳، آزمون صحیح^۴ و آزمون لگاریتم خطی^۵ وجود دارد (۱۱). بررسی این قانون در جمعیت‌ها نیاز به ابزارهای ویژه‌ای داشته باشند تا بتوان با دقت برقراری و یا عدم برقراری تعادل مذکور را برآورد نمود. با توجه به اینکه منشأ جنسیت زنبور عسل نر، زنبور دیپلوفید است و از طرفی جفت‌گیری ملکه زنبور عسل نیز به طور طبیعی و تصادفی با زنبورهای نر موجود در محوطه خارج از کنترل انسان انجام می‌پذیرد، لذا این امر عاملی در جهت افزایش تنوع و گسترش هرچه بیشتر خصوصیات نژادی زنبور عسل بوده (۲) و با توجه به تعریف قانون هاردی-وینبرگ و در صورت عدم وجود دخالت انسان که به عنوان مثال می‌توان به معروفی نمودن ملکه جدید و اصلاح شده و یا مهاجرت کلنهای وغیره اشاره نمود، انتظار می‌رود که تعادل هاردی-وینبرگ در جمعیت مورد مطالعه برقرار باشد. در این رابطه بر روی زنبور عسل مطالعات فراوانی صورت پذیرفت که می‌توان به مطالعات استاپ و همکاران (۱۹۹۵) اشاره نمود که با تحقیقی بر روی ۳ نژاد آفریقایی و ۴ نژاد اروپایی زنبور عسل معمولی، فرانک و همکاران (۲۰۰۱) در رابطه با تعیین تنوع زنبور عسل آفریقایی با استفاده از نشانگرهای ریزماهواره و دلاروآ و همکاران (۲۰۰۱، ۲۰۰۲ و ۲۰۰۳) بررسی چندشکلی با استفاده از جایگاه‌های ریزماهواره و به ترتیب بر روی جمعیت‌های زنبور عسل جزایر قناری، کلنهای غیرمهاجر جنوب شرقی اسپانیا و جزیره بالیریک اشاره نمود.

در این تحقیق نیز برقراری و یا عدم برقراری تعادل هاردی-وینبرگ و معیارهای چندشکلی موجود در کلنهای زنبور عسل شمال غرب ایران بررسی می‌گردد.

مواد و روش‌ها

در این تحقیق، زنبورستان‌های استان‌های آذربایجان شرقی، آذربایجان غربی و اردبیل بر حسب ظرفیت و تعداد کلنی به صورت تصادفی انتخاب و از هر کلنی تعداد ۵ الی ۷ زنبور کارگر جوان به طور تصادفی نمونه‌گیری و در درون ظروف حاوی اтанول مطلق قرار داده شد. سپس نمونه‌ها در مجاورت یخ به آزمایشگاه بیوتکنولوژی مؤسسه تحقیقات علوم دامی کشور منتقل و در دمای ۲۰-۲۵ درجه سلسیوس تا زمان استخراج DNA نگهداری گردیدند. انتخاب مناطق، زنبورستان‌ها و نمونه‌گیری از کلنهای زنبور عسل متعلق به هر جمعیت به نحوی صورت پذیرفت که نمونه‌ها بتوانند الگوی مناسبی از آن جمعیت باشند.

سپس، DNA نمونه‌ها به روش اصلاح شده CTAB استخراج (۱) و پس از ارزیابی‌های کمی و کیفی، با دو روش اسپکتروفوتometri و الکتروفورز بر روی ژل آگارز/۸ درصد، نمونه‌های DNA به نسبت ۱ به ۵۰ رقیق شدند.

^۱ Null alleles

^۲ Chi-square Test

^۳ Likelihood Ratio Test (G-square Test)

^۴ Exact Test

^۵ Log-Linear Test

جهت تهیه فایل WORD این مقاله به سایت **DaneshResan.com** مراجعه نمایید و عنوان مقاله را جستجو کنید
بیش از ۲ میلیون مقاله فارسی در این سایت موجود میباشد
۱۳۸۷ پاییز مجله دانش و پژوهش علوم دامی جلد

سپس برای بررسی تنوع موجود در داخل جمعیت، از ۹ نشانگر ریزماهواره مهم زنبورعسل (نشانگرهای مشترک مورد استفاده در اکثر تحقیقات) با نام‌های A88، A107، A7، A124، A113، A35، A14، A24 و A43 استفاده گردید که توالی آغازگرهای آن از مقالات معتبر (۱) و سایت NCBI اخذ شد و پس از بهینه‌سازی شرایط PCR حاکم بر نشانگر از لحاظ غلظت مواد شرکت‌کننده در واکنش (جدول ۱) و چرخه‌های حرارتی (جدول ۲)، محصولات PCR هر کدام به‌طور مجزا بر روی ژل پلی‌اکریل آمید ۸ درصد الکتروفورز گردیدند. کلیه الکتروفورزها در طول شب (over night) انجام پذیرفت و دو چاهک هر ژل نیز به نشانگر وزن مولکولی اختصاص داده شد.

جدول ۱- غلظت اجزای واکنش PCR

اجزای واکنش	غلظت نهایی
PCR بافر	۱X
MgCl ₂	۱/۵ mM
آغازگرها	۰/۵ μM
dNTPs	۲۰۰ μM
آنزیم Taq پلی مراز	۰/۵ unit/μl
الگو DNA	۱۰۰ ng/μl
ddH ₂ O	متغیر

جدول ۲- دما و زمان چرخه‌های حرارتی PCR

زمان	درجه حرارت (c°)	مراحل PCR
۹ دقیقه	۹۴c	واسرثته‌سازی اولیه
۳۰ ثانیه	۹۴c	واسرثته‌سازی
۳۰ ثانیه	۵۵-۵۸c	اتصال آغازگر
۳۰ ثانیه	۷۲c	بسط آغازگر
-	-	تکرار مرحله ۲ الی ۴ (۳۵ مرتبه)
۹ دقیقه	۷۲c	بسط نهایی آغازگر
-	۴c	نگهداری محصول در دستگاه PCR

پس از رنگآمیزی و اسکن نمودن ژل‌ها، با استفاده از برنامه Gel-Pro Analyzer 3.1، طول آلل‌ها براساس جفت‌باز اندازه‌گیری و سپس ژنوتیپ افراد تعیین گردید (شکل ۱). تجزیه و تحلیل آماری داده‌ها در راستای تعیین فاکتورهایی همچون معیارهای چندشکلی، محتوای اطلاعات چندشکلی جایگاه‌ها، هتروزایگوسیتی مشاهده شده و مورد انتظار ناگزیر نی، شاخص شانون و تعادل هارددی-وینبرگ (توسط آزمون مربع کای و نسبت درستنمایی) با استفاده از نرم‌افزارهای مختلفی همچون 6 POPGENE 1.31، GenAIEx 1.8 و HET برآورد گردید (۱۰، ۹، ۶ و ۴). (۱۲)

نتایج و بحث

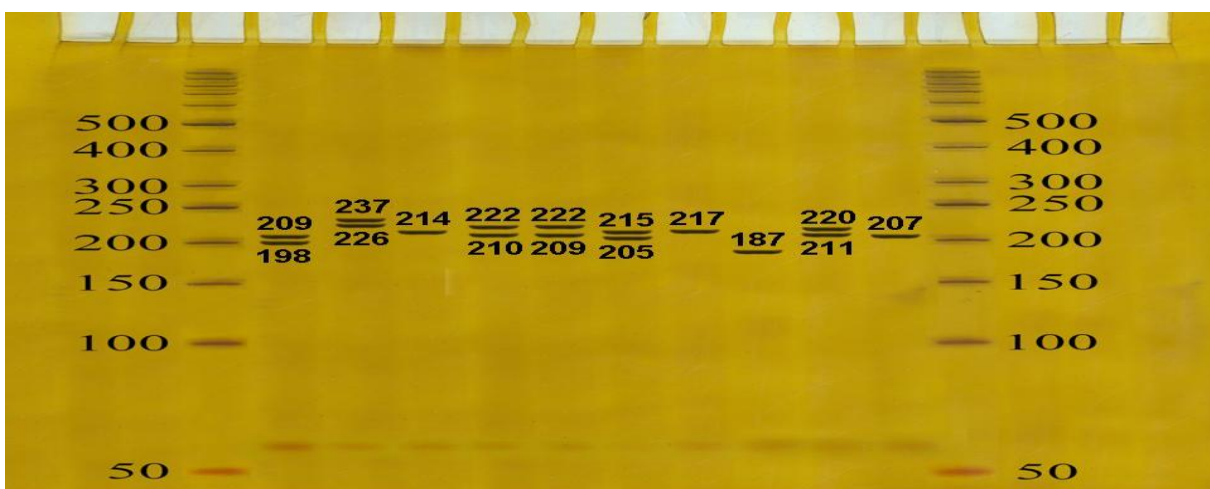
نتایج حاصله از جایگاه‌های مورد بررسی نشان می‌دهد که این نشانگرها براساس استفاده آنها در تحقیقات مختلف (۳، ۴، ۵ و ۶)، دارای کاربرد بالایی در تشکیک گونه‌ها، تزادها، توده‌ها و جمعیت‌های مختلف می‌باشند. ارزیابی‌های کمی و کیفی DNA حاصله توسط دستگاه اسپکتروفوتومتر، نشان داد که جذب نوری نمونه‌های DNA بین ۱/۸-۲ است که نشان‌دهنده عدم آلدگی پروتئینی و RNA

نمونه‌ها بوده و مشاهدات بر روی ژل آگارز نیز، نتایج حاصله از فقدان آلدگی نمونه‌ها که توسط دستگاه اسپکتروفوتومتر ارزیابی شد را تأیید نمود (شکل ۱).



شکل ۱-کیفیت باندهای حاصل از استخراج شده بر روی ژل آگارز ۰/۸ درصد

در این تحقیق، ۸ جایگاه A88، A107، A7، A113، B124، A14 و A24 در واکنش زنجیره‌ای پلیمراز تکثیر شد. جایگاه A43 علیرغم تغییرات مختلف در بهینه‌سازی شرایط PCR آن، تکثیر نگردید که این نتیجه با نتایج استاپ و همکاران (۱۹۹۵) مطابقت نداشت. تکثیر ایده‌آل جایگاه‌ها حاکی از بهینه‌بودن شرایط PCR از لحاظ غلظت اجزاء و چرخه‌های حرارتی (از نظر تعداد سیکل، دمای اتصال و زمان) است (شکل ۲) و عدم تکثیر در جایگاه A43 نشأت‌گرفته از اختلاف نژادی است.



شکل ۲-الگوی آللی مشاهده شده بر روی ژل آکریل آمید ۸ درصد (نشانگر وزن مولکولی ۱۳ شرکت Roche) در این پژوهش دامنه آللی در جایگاه‌های تحت بررسی با وجود اختلافات اندکی، نزدیک به محدوده آللی مطالعات انجام شده توسط استاپ و همکاران (۱۹۹۵) بود.

در بین جایگاه‌های تحت مطالعه، جایگاه A7 دارای بیشترین تعداد آلل مشاهده شده و جایگاه‌های A35 و B124 دارای کمترین تعداد آلل و جایگاه‌های A14 و A24 نیز مونومورف بودند. بیشترین و کمترین تعداد آلل مؤثر نیز به ترتیب در جایگاه‌های A107 و A35 مشاهده شد (جدول ۳) و با نتایج سایر محققین مطابقت نداشت. در تحقیقات دلاروا و همکاران (۲۰۰۲) بیشترین و کمترین تعداد آلل مشاهده شده به ترتیب در جایگاه‌های A35 و A88 و در تحقیقات استاپ و همکاران (۱۹۹۵) نیز به ترتیب در جایگاه‌های A7 و A24 مشاهده شده است. اختلاف موجود در بین تعداد آلل مشاهده شده این پژوهش با مطالعات صورت گرفته بر روی نژادهای مختلف زنبور عسل سایر کشورها نشأت‌گرفته از طبیعت تغییرپذیر و متنوع نشانگرهای ریزماهواره در نژادها و جمعیت‌های مختلف است. بیشترین و کمترین میانگین ارزش PIC در جایگاه‌های A107 و A35 مشاهده گردید که با توجه به تعداد آلل مؤثر این جایگاهها (جایگاه ۱۲/۱ A107 و جایگاه ۱/۹ A35)، این روند منطقی است (جدول ۳). بالابودن ارزش PIC خصوصاً در جایگاه‌های A7 و

A107 و سپس به میزان کمتری در جایگاه‌های A88، B124 و A113 دلیلی مشهود بر چندشکلی زیاد این جایگاه‌ها و از طرفی بیانگر کارآمدی بالای آنها در تمایز ژنتیکی موجود در جمعیت‌ها می‌باشد.

با منظور شدن کلیه جایگاه‌ها در جمعیت شمال‌غرب، با آزمون مرتع کای و آزمون نسبت درستنمایی، جایگاه‌های A107 و A7 در تعادل هاردی-وینبرگ و جایگاه‌های A88، B124، A113 و A35 انحراف معنی‌داری را از این تعادل نشان دادند. کوچ‌های مختلف کلیه‌ها، اشتراک نقاط مختلف کوچ و تأثیرپذیری از کندوهای موجود در مرز مشترک دارای نقش بسزایی در امر این انحرافات هستند و از طرفی وجود آلل‌های صفر در جایگاه‌های مذکور نیز می‌تواند در راستای عدم تعادل هاردی-وینبرگ در این جایگاه‌ها تأثیرگذار باشند.

بیشترین هتروزایگوسیتی مشاهده شده در جایگاه A107 (۰/۹۸۳) و کمترین هتروزایگوسیتی مشاهده شده در جایگاه A88 (۰/۱۰۱) بود (جدول ۳) که در تحقیقات دلاروا و همکاران (۲۰۰۲) به ترتیب در جایگاه‌های A35 (۰/۸۶۷) و A88 (۰/۰۶۷) مشاهده گردیده است. بیشترین هتروزایگوسیتی مورد انتظار ناریب نیز در جایگاه A107 (۰/۹۲۱) و کمترین هتروزایگوسیتی مورد انتظار ناریب نی در جایگاه A35 (۰/۴۸۱) مشاهده گردید که به دلیل تفاوت نزدیکی، این نتیجه با نتایج سایر محققین مطابقت ندارد. در تحقیقات دلاروا و همکاران (۲۰۰۲) بیشترین و کمترین هتروزایگوسیتی مورد انتظار ناریب نی به ترتیب در جایگاه‌های A35 (۰/۸۱۶) و A88 (۰/۰۱۹) مشاهده شده است. با درنظر گرفتن کلیه جایگاه‌ها، بیشترین مقدار شاخص شانون در جایگاه A107 (۰/۶۴۰) و کمترین مقدار آن در جایگاه A35 (۰/۰۱۸) مشاهده گردید که با نتایج حاصله از مقادیر هتروزایگوسیتی نیز مطابقت دارد (جدول ۳). همانگونه که مشاهده می‌شود هتروزایگوسیتی موجود دارای دامنه بالایی بوده و نمایانگر تنوع زیاد موجود در این جمعیت است که در اثر جفتگیری غیرقابل کنترل ملکه زنبور عسل با زنبورهای نر کلیه‌های مختلف حاصل گردیده و نتایج حاصله از عدم تعادل هاردی-وینبرگ نیز مؤید آن بوده و از طرفی تداخلات ژنتیکی به وجود آمده باعث کاهش هموزایگوسیتی و همخونی شده و یکی از عوامل تولید میزان عسل بالا در جمعیت‌های زنبور عسل شمال‌غرب کشور است.

جدول ۳- معیارهای آماری بررسی درون‌جمعیتی مربوط به هر جایگاه

	Na	Ne	PIC	I	Ho	He
A88	۱۱/۰۰۰	۵/۶۴۷	۰/۶۷۰	۱/۸۵۵	۰/۱۰۱	۰/۸۲۶
A107	۱۹/۰۰۰	۱۲/۱۴۴	۰/۸۹۰	۲/۶۴۰	۰/۹۸۳	۰/۹۲۱
A7	۲۲/۰۰۰	۱۰/۷۰۴	۰/۸۹۰	۲/۶۰۷	۰/۸۰۱	۰/۹۱۰
B124	۸/۰۰۰	۵/۶۴۴	۰/۶۱۵	۱/۸۸۶	۰/۲۱۴	۰/۸۳۲
A113	۱۰/۰۰۰	۳/۷۵۲	۰/۶۵۵	۱/۵۶۰	۰/۱۱۱	۰/۷۳۸
A35	۸/۰۰۰	۱/۹۱۹	۰/۳۹۰	۱/۰۱۸	۰/۱۹۶	۰/۴۸۱
نمیانگین SE	$۱۳/۰۰۰ \pm ۶/۰۰۰$	$۷/۶۳۵ \pm ۳/۹۸۵$	$۰/۶۸۵ \pm ۰/۱۸۸$	$۱/۹۲۸ \pm ۰/۶۲۲$	$۰/۴۰۱ \pm ۰/۳۸۷$	$۰/۷۸۵ \pm ۰/۱۶۳$

Na: تعداد آلل مشاهده شده Ne: تعداد آلل مؤثر PIC: محتوای اطلاعات چندشکلی I: شاخص شانون Ho: هتروزایگوسیتی مشاهده شده He: هتروزایگوسیتی مورد انتظار ناریب نی
منابع

- اسدی، ن.، اسماعیل خانیان، س.، نجاتی‌جوارمی، ا.، قره‌داغی، ع. ا.، طهماسبی، غ. ح. و میرهادی، ا. ۱۳۸۲. استخراج DNA ژنوم زنبور عسل با استفاده از اصلاح تکنیک استاندارد در ایران. خلاصه مقالات پنجمین سمینار پژوهشی زنبور عسل ایران، مؤسسه تحقیقات علوم دامی کشور، او ۲ بهمن ۱۳۸۲، صص ۱۳.
- عبادی، ر. ۱۳۶۷. مقایسه عملکرد پنج نژاد و هیرید خارجی زنبور عسل با نژاد بومی ایران در منطقه اصفهان. مجله علوم کشاورزی ایران، جلد ۱۹، شماره ۳: ۲۲-۱۱.

3- Delarua, P., Galian, J., Serrano, J. and Moritz, R. F. A. 2001. Genetic structure and distinctness of *Apis mellifera L.* populations from the Canary Islands. Molecular Ecology. 10:1733-1742.

- 4- Delarua, P., Galian, J., Serrano, J. and Moritz, R. F. A. 2002. Microsatellite analysis of non-migratory colonies of *Apis mellifera iberica* from south-eastern Spain. *Zoology*, 40:164-168.
- 5- Delarua, P., Galian, J., Serrano, J. and Moritz, R. F. A. 2003. Genetic structure of Balearic honeybee populations based on microsatellite polymorphism. *Genetics*, 35:339-350.
- 6- Estoup, A., Garnery, L., Solignac, M. and Cornuet, J. 1995. Microsatellite variation in honeybee (*Apis mellifera*) population. *Apidologie*, 140:679-695.
- 7- Frank, P., Garnery, L., Loiseau, A., Oldroyd, B. P., Hepburn, H. R., Solignac, M. and Cornuet, J.-M. 2001. Genetic diversity of the honeybee in Africa: Microsatellite and Mitochondrial Data. *Heredity*. 86:420-430.
- 8- Hedrick, P. W. 1999. Genetics of population. Second edition, Jones and Bartlett publishers, Sudbury, MA, USA.
- 9- Ott, J. 2001. Program HET version 1.80, utility programs for analysis of genetic linkage. Rockefeller University. New York, NY, USA.
- 10-Peakall, R. and Smouse, P. E. 2006. GENALEX 6: genetic analysis in Excel. Population genetic software for teaching and research. *Molecular Ecology Note*, 6:288-295.
- 11- Weir, B. S. 1996. Genetics data analysis: methods for discrete population genetic data. Sinauer associations, INC.
- 12- Yeh, F. C., Yang, R. and Boyle, T. 1999. POPGENE version 1.31, Microsoft windows-based free ware for population genetic analysis, University of Alberta. Edmonton, AB, Canada.